



CITTÀ DI CANICATTÌ

Libero Consorzio Comunale di Agrigento

DIREZIONE III - P.O. n. 5

"Servizi tecnici territoriali, Sviluppo economico e Programmazione"

LAVORI PER LA MESSA A NORMA, RISTRUTTURAZIONE E COLLOCAZIONE
ERBA SINTETICA STADIO CARLOTTA BORDONARO

CUP: H52E17000070001

PROGETTO ESECUTIVO PRIMO STRALCIO

TAV. 8.5	ELABORATO	CALCOLI STRUTTURALI Relazione generale di calcolo	SCALA
-------------	-----------	--	-------

CITTA' DI CANICATTI'
UFFICIO TECNICO

Parere Tecnico n° 14 del 2020

Visto si esprime ~~parere~~ favorevole all'approvazione del
PROGETTO ai sensi dell'art. 5 della L.R. 12/07/2011 n. 12
e dell'art. 24 della L.R. n. 8 del 2016 di recepimento del D. L. n.
18/04/2016 n. 50 e successive modifiche ed integrazioni per
l'importo complessivo di € 1095000,00
Canicattì il 7-0-APR-2020

R.U.P.

(Geom. Antonio La Vecchia)



Progettista:

Ing. Gioacchino Meli

13 DIC 2019

Collaborazione:

Geom. Giuseppe Cipollina

Geom. Diego Sfilanga

R.U.P.:

Geom. Antonio La Vecchia

CITTÀ DI CANICATTÌ

Libero Consorzio Comunale di Agrigento

**LAVORI PER LA MESSA A NORMA, RISTRUTTURAZIONE E COLLOCAZIONE ERBA
SINTETICA STADIO CARLOTTA BORDONARO**

CALCOLO MURO IN C.A.

RELAZIONE GENERALE DI CALCOLO

Indice generale

• DESCRIZIONE GENERALE DELL'OPERA	2
• DESCRIZIONE DELLE CARATTERISTICHE GEOLOGICHE DEL SITO	2
• INFORMAZIONI GENERALI SULL'ANALISI SVOLTA.....	2
NORMATIVA DI RIFERIMENTO.....	2
REFERENZE TECNICHE (CAP. 12 D.M. 17.01.2018).....	3
MISURA DELLA SICUREZZA	3
MODELLI DI CALCOLO	4
• DURABILITÀ	8
• PRESTAZIONI ATTESE AL COLLAUDO	8
INFORMAZIONI SULL' ELABORAZIONE	9
GIUDIZIO MOTIVATO DI ACCETTABILITA'	9

Per una immediata comprensione delle condizioni sismiche, si riporta il seguente:

RIEPILOGO PARAMETRI SISMICI

Vita Nominale	50
Classe d'Uso	2
Categoria del Suolo	C
Categoria Topografica	1
Latitudine del sito oggetto di edificazione	37.3558
Longitudine del sito oggetto di edificazione	13.84643

• **DESCRIZIONE GENERALE DELL'OPERA**

Tra i lavori di messa a norma dello stadio "Carlotta Bordonaro" di Canicattì è prevista la realizzazione di un muro di sostegno in c.a. necessario per l'ampliamento del rettangolo di gioco che avverrà lungo tutto il lato confinante con la villa comunale.

L'ampliamento del campo da gioco comporterà la realizzazione, lungo il lato confinante con la villa comunale, di un muro di sostegno in c.a. avente altezza pari a 2,90 m avente le seguenti caratteristiche:

Spessore alla testa $St=30$ cm

Spessore alla base $Sb = 40$ cm

Larghezza fondazione a valle $Lv= 0$ cm

Larghezza fondazione a monte $Lm= 175$ cm

Spessore fondazione $Sf= 40$ cm

Al di sopra di detto muro verranno fissati i pali in acciaio che sorreggeranno la rete parapalle avente altezza pari a 6,00 m. le cui azioni (peso proprio, vento, ecc...) sono state considerate nel calcolo di verifica.

• **DESCRIZIONE DELLE CARATTERISTICHE GEOLOGICHE DEL SITO**

L'area oggetto di indagine ricade nel Foglio n° 267, II° quadrante, Tavoletta S.E. "Canicattì" della Carta d'Italia in scala 1:25.000 redatta dall'I.G.M.I.. Il sito in oggetto ricade nella porzione sud-ovest dell'agglomerato urbano di Canicattì tra le Vie Vittorio Veneto e Carlo Amato.

I lineamenti morfologici dell'area circostante sono tipicamente collinari, caratterizzati da affioramenti di litotipi competenti (Calcari, gessi, trubi) nelle porzioni morfologicamente più alte e da depositi incoerenti (detriti eluvio-colluviali) e/o pseudocoerenti (argille) sui versanti dei rilievi e alla loro base.

Per la caratterizzazione geotecnica si è fatto riferimento alla relazione geologica redatta dal Geologo Dott. Salvatore Lo Verme.

L'esatta individuazione del sito è riportata nei grafici di progetto.

• **INFORMAZIONI GENERALI SULL'ANALISI SVOLTA**

NORMATIVA DI RIFERIMENTO

- D.M 17/01/2018 - Nuove Norme Tecniche per le Costruzioni;

Circ. Ministero Infrastrutture e Trasporti 21 Gennaio 2019, n. 7 Istruzioni per l'applicazione delle "Nuove norme tecniche per le costruzioni" di cui al D.M. 17 gennaio 2018;

REFERENZE TECNICHE (Cap. 12 D.M. 17.01.2018)

UNI ENV 1992-1-1 - Parte 1-1: Regole generali e regole per gli edifici.
UNI EN 206-1/2001 - Calcestruzzo. Specificazioni, prestazioni, produzione e conformità.
UNI EN 1993-1-1 - Parte 1-1: Regole generali e regole per gli edifici.
UNI EN 1995-1 – Costruzioni in legno
UNI EN 1998-1 – Azioni sismiche e regole sulle costruzioni
UNI EN 1998-5 – Fondazioni ed opere di sostegno

MISURA DELLA SICUREZZA

Il metodo di verifica della sicurezza adottato è quello degli Stati Limite (SL) che prevede due insiemi di verifiche rispettivamente per gli stati limite ultimi S.L.U. e gli stati limite di esercizio S.L.E.. La sicurezza viene quindi garantita progettando i vari elementi resistenti in modo da assicurare che la loro resistenza di calcolo sia sempre maggiore delle corrispondente domanda in termini di azioni di calcolo.

Le norme precisano che la sicurezza e le prestazioni di una struttura o di una parte di essa devono essere valutate in relazione all'insieme degli stati limite che verosimilmente si possono verificare durante la vita normale.

Prescrivono inoltre che debba essere assicurata una robustezza nei confronti di azioni eccezionali.

Le prestazioni della struttura e la vita nominale sono riportati nei successivi tabulati di calcolo della struttura.

La sicurezza e le prestazioni saranno garantite verificando gli opportuni stati limite definiti di concerto al Committente in funzione dell'utilizzo della struttura, della sua vita nominale e di quanto stabilito dalle norme di cui al D.M. 17/01/2018 e successive modifiche ed integrazioni.

In particolare si è verificata:

- la sicurezza nei riguardi degli stati limite ultimi (S.L.U.) che possono provocare eccessive deformazioni permanenti, crolli parziali o globali, dissesti, che possono compromettere l'incolumità delle persone e/o la perdita di beni, provocare danni ambientali e sociali, mettere fuori servizio l'opera. Per le verifiche sono stati utilizzati i coefficienti parziali relativi alle azioni ed alle resistenze dei materiali in accordo a quanto previsto dal D.M. 17/01/2018 per i vari tipi di materiale. I valori utilizzati sono riportati nel fascicolo delle elaborazioni numeriche allegate;

la sicurezza nei riguardi degli stati limite di esercizio (S.L.E.) che possono limitare nell'uso e nella durata l'utilizzo della struttura per le azioni di esercizio. In particolare di concerto con il committente e coerentemente alle norme tecniche si sono definiti i limiti riportati nell'allegato fascicolo delle calcolazioni;

la sicurezza nei riguardi dello stato limite del danno (S.L.D.) causato da azioni sismiche con opportuni periodi di ritorno definiti di concerto al committente ed alle norme vigenti per le costruzioni in zona sismica;

robustezza nei confronti di opportune azioni accidentali in modo da evitare danni sproporzionati in caso di incendi, urti, esplosioni, errori umani;

Per quanto riguarda le fasi costruttive intermedie la struttura non risulta cimentata in maniera più gravosa della fase finale.

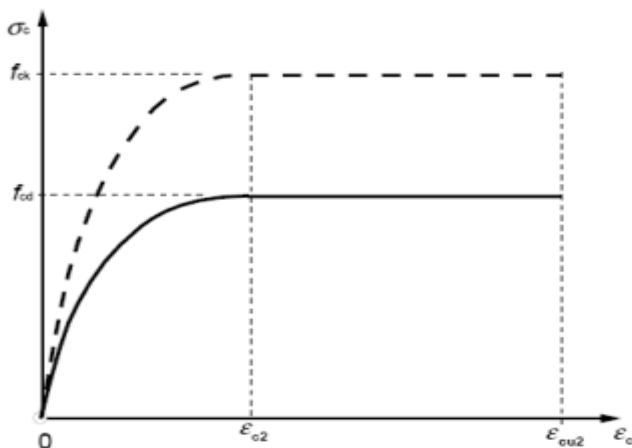
MODELLI DI CALCOLO

Si sono utilizzati come modelli di calcolo quelli esplicitamente richiamati nel D.M. 17/01/2018.

Per quanto riguarda le azioni sismiche ed in particolare per i dettagli costruttivi e le prestazioni sia agli S.L.U. che allo S.L.D. si fa riferimento al D.M. 17/01/18 e alla circolare del Ministero delle Infrastrutture e dei Trasporti del 21 Gennaio 2019, n. 7 la quale è stata utilizzata come norma di dettaglio.

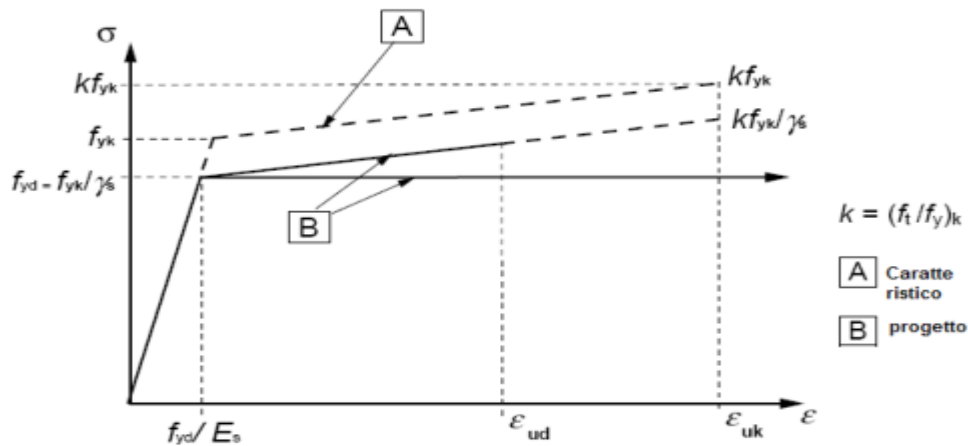
La definizione quantitativa delle prestazioni e le verifiche sono riportati nel fascicolo delle elaborazioni numeriche allegate.

Per le verifiche sezionali i legami utilizzati sono:



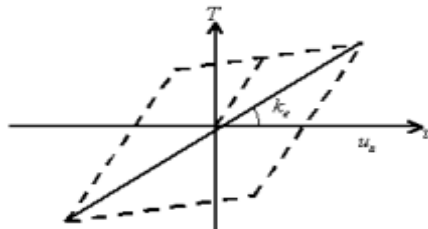
Legame costitutivo di progetto parabolarettangolo per il calcestruzzo.

Il valore ϵ_{cu2} nel caso di analisi non lineari sarà valutato in funzione dell'effettivo grado di confinamento esercitato dalle staffe sul nucleo di calcestruzzo.



Legame costitutivo di progetto elastico perfettamente plastico o incrudente a duttilità limitata per l'acciaio.

- legame rigido plastico per le sezioni in acciaio di classe 1 e 2 e elastico lineare per quelle di classe 3 e 4;
- legame elastico lineare per le sezioni in legno;
- legame elasto-viscoso per gli isolatori.



Legame costitutivo per gli isolatori.

Il modello di calcolo utilizzato risulta rappresentativo della realtà fisica per la configurazione finale anche in funzione delle modalità e sequenze costruttive.

AZIONI DI CALCOLO

Si suppone valida l'ipotesi in base alla quale la spinta attiva si ingenera in seguito al movimento del manufatto nella direzione della spinta agente. Le ipotesi di base per il calcolo della spinta sono le seguenti, le medesime adottate dal metodo di calcolo secondo Coulomb, con l'estensione di Muller-Breslau e Mononobe-Okabe:

- In fase di spinta attiva si crea all'interno del terrapieno un cuneo di spinta, che si distacca dal terreno indisturbato tramite linee di frattura rettilinee, lungo le quali il cuneo scorre generando tensioni tangenziali dovute all'attrito.

- Sul cuneo di spinta agiscono le seguenti forze: peso proprio del terreno, sovraccarichi applicati sull'estradosso del terrapieno, spinte normali alle superfici di scorrimento del cuneo (da una parte contro il paramento e dall'altra contro la porzione di terreno indisturbato), forze di attrito che si innescano lungo le superfici del cuneo e che si oppongono allo scorrimento.

- In condizioni sismiche, al peso proprio del cuneo va aggiunta una componente orizzontale, ed eventualmente anche una verticale, pari al peso complessivo moltiplicato per il prodotto dei coefficienti sismici.

- Il fatto che il muro ha spostamenti significativi fa in modo che l'attrito che si genera è pari al valore massimo possibile, sia in condizioni di spinta attiva che di spinta passiva, quindi le risultanti delle reazioni sulle pareti del cuneo risultano inclinate di un angolo ϕ rispetto alla normale alla superficie di scorrimento.

Il programma C.D.W. Win, pur adottando le stesse ipotesi, piuttosto che utilizzare la formula di Coulomb in forma chiusa, applica la procedura originaria derivante dall'equilibrio delle forze agenti sul cuneo di spinta, cercando il valore di massimo della spinta per tentativi successivi su tutti i possibili cunei di spinta. Così facendo si possono aggiungere alle ipotesi già indicate le seguenti generalizzazioni, che invece devono essere trascurate utilizzando i metodi classici:

- Il terreno spingente può essere costituito da diversi strati, separati da superfici di forma generica, con caratteristiche geotecniche differenti.

- Il profilo dell'estradosso del terrapieno spingente può avere una forma generica qualsiasi, purché coerente con le caratteristiche del terreno.

- I sovraccarichi agenti sul terrapieno possono avere una distribuzione assolutamente libera.

- Può essere tenuta in conto la coesione interna del terreno e la forza di adesione tra terreno e muro.

- Si può calcolare la spinta di un muro con mensola aerea stabilizzante a monte, al di sotto della quale si crea un vuoto nel terreno.

- È possibile conoscere l'esatto andamento delle pressioni agenti sul profilo del muro anche nei casi sopra detti, in cui tale andamento non è lineare, ma la cui distribuzione incide sul calcolo delle sollecitazioni interne.

- Si può supporre anche l'esistenza una linea di rottura del cuneo interna, che va dal vertice estremo della mensola di fondazione a monte fino a intersecare il paramento, inclinata di un certo angolo legato a quello di attrito interno del terreno stesso. Si può quindi conoscere l'esatta forma del cuneo di spinta, per cui le forze in gioco variano in quanto solo una parte di esso è a contatto con il paramento. Il peso proprio del terreno portato sarà solo quello della parte di terrapieno che realmente rimarrà solidale con la fondazione e non risulterà interessato da scorrimenti, quindi in generale un triangolo. Ciò fa sì che il peso gravante sulla fondazione può risultare notevolmente inferiore a quello ricavato con i metodi usuali, dal momento che una parte è già stata conteggiata nel cuneo di spinta.

Per quanto riguarda la spinta passiva, quella del terrapieno a valle, le uniche differenze rispetto a quanto detto consistono nel fatto che le forze di attrito e di coesione tra le superfici di scorrimento del

cuneo hanno la direzione opposta che nel caso di spinta attiva, nel senso che si oppongono a un moto di espulsione verso l'alto del cuneo, e la procedura iterativa va alla ricerca di un valore minimo piuttosto che un massimo.

Nei casi di fondazione su pali o muri tirantati si può ritenere più giusto adottare un tipo di spinta a riposo, che considera il cuneo di terreno non ancora formato e spostamenti dell'opera nulli o minimi. Tale spinta è in ogni caso superiore a quella attiva e la sua entità si dovrebbe basare su considerazioni meno semplicistiche. Il programma opera prendendo come riferimento una costante di spinta pari a:

$$K_0 = 1 - 0,9 \times \sin \phi$$

essendo ϕ l'angolo di attrito interno del terreno, formula che si trova diffusamente in letteratura. Se tale deve essere la costante di spinta per un terreno uniforme, ad estradosso rettilineo orizzontale e privo di sovraccarichi e di azione sismica, viene ricavato un fattore di riduzione dell'angolo di attrito interno del terreno, tale che utilizzando questo angolo ridotto e la consueta procedura per il calcolo della spinta attiva, la costante fittizia di spinta attiva corrisponda alla costante a riposo della formula sopra riportata.

Una volta ricavato questo fattore riduttivo, il programma procede al calcolo con le procedure standard, mettendo in gioco le altre variabili, quali la sagomatura dell'estradosso e degli strati, la presenza di sovraccarichi variamente distribuiti e la condizione sismica. La giustificazione di ciò risiede nella considerazione in base alla quale in condizioni di spinta a riposo, gli spostamenti interni al terreno sono ridotti rispetto alla spinta attiva, quindi l'attrito che si mobilita è una parte di quello massimo possibile, e di conseguenza la spinta risultante cresce.

In base a queste considerazioni di ordine generale, il programma opera come segue:

- Si definisce la geometria di tutti i vari cunei di spinta di tentativo, facendo variare l'angolo di scorrimento dalla parte di monte da 0 fino al valore limite $90 - \phi$. Quindi in caso di terreno multistrato, la superficie di scorrimento sarà costituita da una spezzata con inclinazioni differenti da strato a strato. Ciò assicura valori di spinta maggiori rispetto a una eventuale linea di scorrimento unica rettilinea. L'angolo di scorrimento interno, quello dalla parte del paramento, qualora si attivi la procedura "Coulomb estesa" è posto pari a $3/4$ dell'angolo utilizzato a monte. Tale percentuale è quella che massimizza il valore della spinta. È possibile però attivare la procedura "Coulomb classico", in cui tale superficie si mantiene verticale, ma utilizzando in ogni caso l'angolo di attrito tra terreno e muro.
- Si calcola l'entità complessiva dei sovraccarichi agenti sul terrapieno che ricadono nella porzione di estradosso compresa nel cuneo di spinta.
- Si calcola il peso proprio del cuneo di spinta e le eventuali componenti sismiche orizzontali e verticali dovute al peso proprio ed eventualmente anche ai sovraccarichi agenti sull'estradosso.
- Si calcolano le eventuali azioni tangenziali sulle superfici interne dovute alla coesione interna e all'adesione tra terreno e muro.
- In base al rispetto dell'equilibrio alla traslazione verticale e orizzontale, nota l'inclinazione delle spinte sulle superfici interne (pari all'angolo di attrito), sviluppato in base a tutte le forze agenti sul concio, si ricavano le forze incognite, cioè le spinte agenti sul paramento e sulla superficie di

scorrimento interna del cuneo.

- Si ripete la procedura per tutti i cunei di tentativo, ottenuti al variare dell'angolo alla base. Il valore massimo (minimo nel caso di spinta passiva) tra tutti quelli calcolati corrisponde alla spinta del terrapieno.

• **DURABILITÀ**

Per garantire la durabilità della struttura sono state prese in considerazione opportuni stati limite di esercizio (in funzione dell'uso e dell'ambiente in cui la struttura dovrà vivere limitando sia gli stati tensionali che nel caso delle opere in calcestruzzo anche l'ampiezza delle fessure. La definizione quantitativa delle prestazioni, la classe di esposizione e le verifiche sono riportati nel fascicolo delle elaborazioni numeriche allegate.

Inoltre per garantire la durabilità, così come tutte le prestazioni attese, è necessario che si ponga adeguata cura sia nell'esecuzione che nella manutenzione e gestione della struttura e si utilizzino tutti gli accorgimenti utili alla conservazione delle caratteristiche fisiche e dinamiche dei materiali e delle strutture. La qualità dei materiali e le dimensioni degli elementi sono coerenti con tali obiettivi.

Durante le fasi di costruzione il direttore dei lavori implementerà severe procedure di controllo sulla qualità dei materiali, sulle metodologie di lavorazione e sulla conformità delle opere eseguite al progetto esecutivo nonché alle prescrizioni contenute nelle "Norme Tecniche per le Costruzioni" D.M. 17/01/2018 e relative Istruzioni.

• **PRESTAZIONI ATTESE AL COLLAUDO**

La struttura a collaudo dovrà essere conforme alle tolleranze dimensionali prescritte nella presente relazione, inoltre relativamente alle prestazioni attese esse dovranno essere quelle di cui al § 9 del D.M. 17/01/2018.

Ai fini della verifica delle prestazioni il collaudatore farà riferimento ai valori di tensioni, deformazioni e spostamenti desumibili dall'allegato fascicolo dei calcoli statici per il valore delle azioni pari a quelle di esercizio.

Origine e Caratteristiche dei codici di calcolo

Produttore	S.T.S. srl
Titolo	CDSWin
Versione	Rel. 2019

Ragione sociale completa del produttore del software:

S.T.S. s.r.l. Software Tecnico Scientifico S.r.l.

Via Tre Torri n°11 – Complesso Tre Torri

95030 Sant'Agata li Battiati (CT).

- **Affidabilità dei codici utilizzati**

L'affidabilità del codice utilizzato e la sua idoneità al caso in esame, è stata attentamente verificata sia effettuando il raffronto tra casi prova di cui si conoscono i risultati esatti sia esaminando le indicazioni, la documentazione ed i test forniti dal produttore stesso.

La S.T.S. s.r.l., a riprova dell'affidabilità dei risultati ottenuti, fornisce direttamente on-line i test sui casi

prova liberamente consultabili all' indirizzo:
<http://www.stsweb.it/STSWeb/ITA/homepage.htm>

Informazioni sull' elaborazione

Il software e' dotato di propri filtri e controlli di autodiagnostica che intervengono sia durante la fase di definizione del modello sia durante la fase di calcolo vero e proprio.

In particolare il software è dotato dei seguenti filtri e controlli:

Filtri per la congruenza geometrica del modello generato

Controlli a priori sulla presenza di elementi non connessi, interferenze, mesh non congruenti o non adeguate.

Filtri sulla precisione numerica ottenuta, controlli su labilita' o eventuali mal condizionamenti delle matrici, con verifica dell' indice di condizionamento.

Controlli sulla verifiche sezionali e sui limiti dimensionali per i vari elementi strutturali in funzione della normativa utilizzata.

Controlli e verifiche sugli esecutivi prodotti.

Rappresentazioni grafiche di post-processo che consentono di evidenziare eventuali anomalie sfuggite all' autodiagnostica automatica.

In aggiunta ai controlli presenti nel software si sono svolti appositi calcoli su schemi semplificati, che si riportano nel seguito, che hanno consentito di riscontrare la correttezza della modellazione effettuata per la struttura in esame.

Giudizio motivato di accettabilita'

Il software utilizzato ha permesso di modellare analiticamente il comportamento fisico della struttura.

Le funzioni di visualizzazione ed interrogazione sul modello hanno consentito di controllare sia la coerenza geometrica che la adeguatezza delle azioni applicate rispetto alla realtà fisica.

Inoltre la visualizzazione ed interrogazione dei risultati ottenuti dall' analisi quali: sollecitazioni, tensioni, deformazioni, spostamenti e reazioni vincolari, hanno permesso un immediato controllo di tali valori con i risultati ottenuti mediante schemi semplificati della struttura stessa.

Si è inoltre riscontrato che le reazioni vincolari sono in equilibrio con i carichi applicati, e che i valori dei taglienti di base delle azioni sismiche sono confrontabili con gli omologhi valori ottenuti da modelli SDOF semplificati.

Le sollecitazioni fornite dal solutore, per le combinazioni di carico indicate nel tabulato di verifica del CDWWin, sono state validate effettuando gli equilibri alla rotazione e traslazione degli elementi, secondo quanto meglio descritto nel calcolo semplificato, allegato alla presente relazione.

Si sono infine eseguite le verifiche con metodologie semplificate e, confrontandole con le analoghe verifiche prodotte in automatico dal programma, si e' potuto riscontrare la congruenza di tali risultati con i valori riportati dal software.

Si è inoltre verificato che tutte le funzioni di controllo ed autodiagnostica del software abbiano dato tutte esito positivo.

Da quanto sopra esposto si puo' quindi affermare che il calcolo e' andato a buon fine e che il modello di calcolo utilizzato e' risultato essere rappresentativo della realtà fisica, anche in funzione delle modalità e sequenze costruttive.